# 高效溶磷菌株 Bmp5筛选及活力和培养条件的研究

张毅民, 孙亚凯, 吕学斌, 但汉斌, 王虹, (1绿色合成与转化教育部重点实验室, 天津大学 化工学院, 天津 300072 2 纽约城市大学 莱曼学院 生物科学系, 纽约 10468)

摘要: 从不同地区的土壤样品中分离出 11株微生物菌株, 其中菌株 Bn p5表现出较高的溶磷活力. 对比研究发现, Bm p5 对磷酸钙、磷酸铁、卵磷脂的溶解能力明显高于荧光假单胞菌 P saidon on as fluorexens As 1 867 对磷酸氢钙的 溶磷量是巨大芽孢杆菌 Bacillus megaterium As1 223的 2 17倍. 培养条件优化试验表明, Bmp5 的适宜 pH 范围为 5.5~8.0 最适碳源为草酸铵、甘油、最适氮源为草酸铵、最佳培养温度为 35℃. 金属离子 Fe<sup>3+</sup>、Ca<sup>2+</sup>、M n<sup>2+</sup>、Z n<sup>2+</sup> 对 Bmp5解磷能力有一定的促进作用,而  $Cu^{2+}$ 、 $N^{2+}$ 则抑制其解磷. 经鉴定,Bmp5 为蜡状芽孢杆菌 B. cereus.

关键词: 溶磷微生物: 溶磷量: 溶磷率: 培养条件 中图分类号: Q93 文献标识码: A

文章编号: 1001 411X(2006)03 0061 05

# Isolation of the High Efficiency Phosphate Solubilization Bacterium Bmp5 and Its Activity and Culture Conditions

ZHANG Yim in, SUN Ya kai, LÜXue bin, DAN Han bin, WANG Hong (1 Key Laboratory for Green Chemical Technology of State Education Ministry College of Chemical Engineering and Technology Tian jin University Tian jin 300072 China

2 Department of Biological Sciences Lehman College City University of New York, New York 10468 USA)

Abstract Eleven strains of phosphate solubilization microorganisms were isolated from different district soil samples. Among them, Bmp5 showed the highest phosphate solubilizing activity. The phosphate sol ubilization capacity of Bmp5 in calcium orthophosphate ferric phosphate and lecith in were significantly higher than that of P seud on on as fluore scens As 1. 867; while the phosphate solubilization capacity in calci um hydrogen phosphate was 1. 17 times higher than that of Bacillus megaterium As 1. 223. The optimized culture conditions of the highest phosphate solubilizing acitivity were pH at 5.5-8.0, using ammonium oxalate glycerol as carbon source, ammonium oxalate as nitrogen source and temperature at 35°C. The phosphate solubilizing activity further increased in the presence of the Fe<sup>3+</sup>, Ca<sup>2+</sup>, Mn<sup>2+</sup>, Zn<sup>2+</sup> in the medium, but decreased in the presence of  $Cu^{2+}$ ,  $N_1^{2+}$ . Bmp5 was identified as B. cereus

lization efficiency; culture conditions

Key word s phosphate solubilization microorganism; phosphate solubilization capacity; phosphate solubi

磷是作物生长发育所必需的重要元素,而在农 业生态系统中大量的磷以不溶形态存在. 尽管可通 过施入磷肥来满足作物生长需要, 但是大部分磷会 与土壤中的 Ca<sup>2+</sup>、Fe<sup>3+</sup>、A l<sup>3+</sup>等反应生成难溶的磷酸 盐沉积,使土壤板结,土壤缺磷状况仍得不到根本缓

解[13]. 将加入溶磷微生物的磷矿粉作为磷肥施入土 壤,溶磷微生物通过自身代谢可促进难溶磷的溶解, 使之变为可供植物直接吸收利用的磷形态,同时,还 可降低肥料成本,对环境进行微生物修复,提高作物 产量,是解决土壤中磷缺乏的重要途径之一. 目前,

收稿日期: 2005 09 20

作者简介: 张毅民 (1961), 男, 副教授, 博士, Email Zhangym 001@ 263 net

已投入工业应用并取得较好田间试验效果的溶磷微生物主要有巨大芽孢杆菌 Bacillus mega terium 及其变种、荧光假单胞菌 Pseudom onas fluo rescens 等 [+6]. 由于溶磷微生物受根际微生物及土壤条件影响,在土壤中存活能力受到限制,同时溶磷微生物自身也存在老化问题,因此,从土壤根际中筛选高活性微生物及对其溶磷活力的研究仍然是土壤微生物研究领域中重要研究课题. 本研究从土壤根际中筛选出具有较强溶磷活力的菌株 Bmp5 并与对照菌株荧光假单胞菌 As1 867和巨大芽孢杆菌 As1 223的活力进行了比较,对 Bmp5的培养条件进行了优化研究,为其工业化的应用提供了依据.

### 1 材料与方法

### 1.1 材料

1.1.1 土壤 样品取自天津郊区农田、湖边及树林,河北武邑县农田及树林,安徽池州殷家汇菜园.
1.1.2 培养基 菌株保存活化用肉汤蛋白胨培养基<sup>[3]</sup>. 液体发酵用 Pikovskava解无机磷培养基<sup>[8]</sup>:葡萄糖 10.0 g(NH<sub>4</sub>)<sub>2</sub>SO<sub>4</sub> 0.5 g NaCl 0.3 g KCl 0.3 g FeSO<sub>4</sub>· 7H<sub>2</sub>O 0.3 g M gSO<sub>4</sub>· 7H<sub>2</sub>O 0.3 g M nSO<sub>4</sub>· 4H<sub>2</sub>O 0.03 g 酵母膏 0.4 g Ca<sub>3</sub> (PO<sub>4</sub>)<sub>2</sub>

1.1.3 对照菌株 对照菌株荧光假单胞菌 Asl. 867和巨大芽孢杆菌 Asl. 223由中国科学院微生物贮藏中心提供.

10.0g蒸馏水 1000 mL, pH7.0~7.5

#### 1.2 溶磷微生物的筛选

用稀释平板培养法分离. 称取 1 g 土样溶于 99 mI无菌水中,用 10 倍稀释法分别配制  $10^{-4}$ 、  $10^{-5}$ 、 $10^{-6}$  g mL的土壤溶液,分别接种到 Pikovskava 解无机磷培养基平板上,涂布均匀,30 <sup>©</sup>培养  $5\sim7$  d 观察出现溶磷圈的菌落. 将溶磷圈较大的菌株利用平板划线法分离纯化后,4 <sup>©</sup>下保存于斜面培养基.

#### 1 3 微生物溶磷能力研究

将配制的 Pikovskava 解无机磷液体培养基50 mL装于300 mL锥形瓶中,121 °C灭菌20 m in 冷却后用接种环各挑2环斜面菌株接入培养基中,每株菌各做3次重复,同时以不接菌的摇瓶作为空白对照,在30°C、160 r m in摇床培养7 d后,用 pHS-29A 型酸度计测定发酵液的 pH 值.将发酵液在4000 r m in下离心30 m in 取上清液稀释适当倍数,利用UV3010紫外可见分光光度计在886 nm 处通过钼锑抗比色法<sup>[9]</sup>测定光密度并计算有效磷含量.有效磷含量以溶磷量和溶磷率表示.溶磷量为扣除空白对照

值 1 L上清液中可溶性磷的含量,单位为 mg· L<sup>-1</sup>. 溶 磷率为 100 g难溶磷所溶解出来的水溶性磷量.

### 1.4 高效菌株的对照试验

取实验室保存的菌株 Bmp5 As1 867 As1 223 转接于肉汤蛋白胨斜面培养基,于 30 °C培养 1 d 用无菌水冲洗斜面,制成菌悬液,调节浓度约为 10° cfu fu L 配制 Pikovskava解无机磷培养基,另外分别用磷酸铁 (12 088 g/L)、磷酸铝 (8 406 g/L)、磷酸氢钙 (11 096 g/L)、卵磷脂 (0 500 g/L)替代原培养基中磷酸钙作为磷源,其他成分不变. 其中当磷源采用卵磷脂时,另加入  $CaCO_35$  000 g/L 按每瓶 50 mL的装液量装入 300 mL锥形瓶中,121 °C灭菌 20 m in冷却后将 3 株菌的菌悬液按每瓶 4%的接种量分别接入上述 5 种不同磷源的培养基中,每株菌各做 3次重复,同时对不同磷源分别以不接菌的摇瓶作为空白对照,均于 30 °C,160 r fu in条件下摇瓶培养5 d 按 1 3中所述的方法测定溶磷量和溶磷率.

### 1 5 菌株的形态观察、生理生化特性及分类鉴定

将 Bmp5接种于肉汤蛋白胨平板培养基, 30 ℃培养 48 h后观察菌落生长情况及菌落特征; 24 h时取部分 Bmp5染色制片, XSZ-G型显微镜下观察菌体形态. 菌株由中国农业科学院土壤肥料研究所鉴定.

#### 1 6 高效菌株培养条件的优化

1.6.1 培养基初始 pH 用 1 mol/L的 HCl溶液和 1 mol/L的 N aOH 溶液调节 Pikovskava解无机磷液体 培养基初始 pH 分别为 5.0 5.5 6.0 6.5 7.0 7.5 8 0 8 5 如 1.4所述方法接入 Bmp5 菌悬液,并分别作相应的空白对照,均于 30  $^{\circ}$ C, 160 r m in摇瓶培养 5 d 按 1.3中所述的方法测定溶磷量.

1 6 2 碳源 分别以蔗糖、麸皮、淀粉、草酸铵、醋酸铵、甘油、甘露醇、淀粉 5 g+乙醇 5 g淀粉 5 g+麸皮 5 g,麸皮 5 g+乙醇 5 g替代葡萄糖作为碳源物质,其他成分不变,配制 Pikovskava解无机磷液体培养基,调节各培养基的  $_{
m IH}$  为 7. 0 如 1. 4所述方法接入  $_{
m Bmp}$ 5菌悬液,并对不同碳源分别作相应的空白对照,均于 30  $_{
m C}$ , 160  $_{
m C}$   $_{
m Im}$   $_{
m Im}$  据瓶培养 5  $_{
m Im}$  按 1. 3中所述的方法测定培养液的  $_{
m PH}$  值和溶磷量.

1.63 氮源 分别以尿素 0.227 g/L 草酸铵 0.538 g/L 氯化铵 0.405 g/L蛋白胨 0.884 g/L 柠檬酸铵 0.611 g/L硝酸铵 0.364 g/L硝酸钠 0.644 g/L替代硫酸铵作为氮源物质,其他成分不变,配制 Pikovskava解无机磷液体培养基,调节各培养基的 pH为 7.0 如 1.4所述方法接入 Bmp5菌悬液,并对不同氮源分别作相应的空白对照,培养、测定同 1.6.2

1.6.4 温度 将接好菌悬液的培养基分别控制温

度为 20、30、35、40、50  $^{\circ}$ 、并分别作相应的空白对照, 培养、测定同 1.6.2

1.65 金属离子 在 Pikovskava解无机磷液体培养基中分别加入 CuSO<sub>4</sub>· 5H<sub>2</sub>O 6 250 g/L ZnSO<sub>4</sub>· 7H<sub>2</sub>O 7.175 g/L FeCl<sub>8</sub>· 6H<sub>2</sub>O 6 775 g/L CaCl<sub>8</sub> 2.775 g/L MnSO<sub>4</sub>· H<sub>2</sub>O 4 225 g/L Ni(NO<sub>3</sub>)<sub>2</sub>· 6H<sub>2</sub>O 4 575 g/L 使其中金属离子浓度均为 0 025 mol/L 调节各培养基 pH 为 7.0 如 1.4 所述方法接入 Bmp5菌悬液,同时对加入不同金属离子和未加金属离子的各个培养基分别作相应的不接菌液的空白对照,培养、测定同 1.6 2

### 1 7 数据统计分析 所有数据均采用 SPSS 12 0进行分析.

### 2 结果与分析

### 2 1 单株菌活力

利用 Pikovskava解无机磷平板培养基,从不同的土壤样品中筛选得到 11株溶磷微生物,通过液体发酵试验,测定其溶磷活力,结果见表 1. 结果表明 Bm p5具有较高的溶磷能力,故选择 Bm p5作为目的菌株进一步考察.

表 1 菌株活力比较<sup>1)</sup>

Tab 1 Comparison in activities of the strains

	1	-	次7米早 1 1	☆7米 <del>1</del> 1 1 .	
菌株编号	ī	最终 pH	溶磷量 phosphate溶磷率 phosphate		
strain	$D_{886~\mathrm{nm}}$		solub i lization	so lub ilization	
num ber		final pH	capacity $f(mg L^{-1})$	efficiency $\mathcal{V}_0$	
Bm p1	0 063 0	5. 02	197. 50	6 17	
Fmp2	0 031 3	5. 63	125. 56	4 50	
Fmp3	-0 0037	5. 31	46. 06	1 54	
Fmp4	0 072 0	4. 52	217. 94	7. 00	
Bm p5	0 189 3	3. 29	968. 50	30 67	
Bm p6	0 3186	3. 60	777. 50	22 68	
Bm p7	0 142 7	3. 27	756. 88	25 23	
Bm p8	0 012 7	5. 53	83. 31	2 43	
Fmp9	0 203 0	4. 78	515. 38	16 11	
Fmp10	0 027 0	5. 01	115. 81	3 38	
Fmp11	0 000 2	5. 23	59. 00	2 11	

1) n = 3 SE < 0.02

# 2 2 Bm p5与对照菌株对不同磷源物质的活力比较

通过液体发酵试验比较 Bmp5与对照菌株 As1 867和 As1 223对不同磷源物质溶解活力的差异,结果见表 2 由表 2可以看出,以磷酸钙为磷源时,Bmp5的活力为 As1 867的 124 9%,为 As1 223的 97. 7%. Bmp5对磷酸铝的溶解能力相对 2株对照菌株要弱,仅有 As1 223的 18 1%. Bmp5对于磷酸铁、卵磷脂的溶解能力较强,都高于对照菌株. 而以磷酸

氢钙为磷源时,Bmp5的溶磷量是 As1 867的 85 7%,是 As1 223的 2 17倍. 总体看来,Bmp5有着较高的溶磷活力,是一株有利用潜力的优良菌株. 表 2 的结果也表明,不同微生物菌株对相同的磷源溶解效果差异很大,同一菌株对不同磷源的溶解效果也不一致. 这可能是由微生物复杂的溶磷机制、磷源化学成分和结构差异等多种因素引起的[10-11].

表 2 Bmp5与对照菌株对不同磷源的溶解活力比较<sup>1)</sup>

Tab. 2 Comparison in activities of Bm p5 As1 867 and As 1. 223 in different phosphate sources

菌株编号	溶磷量 phosphate solibilization capacity (mg· L <sup>-1</sup> )					
stra in No.	Ca <sub>3</sub> (PO <sub>4</sub> ) <sub>2</sub>	${\rm APO}_4$	${\rm Fe\!PO}_4$	$\mathrm{CaHPO}_4$	师粦脂 lecithin	
Bm p5	265 63	145 31	61. 13	497.88	1. 22	
As 1. 867	212 75	149 31	48 93	581.19	0 81	
As 1. 223	277. 00	803 00	52 20	229 31	1 06	

1) n=3 SE< 0.05

### 2 3 菌株的形态观察、生理生化特性及分类鉴定

Bmp5在肉汤蛋白胨培养基上生长速度快,48 h后观察到菌落呈乳白色,具有蜡质光泽,显微镜下观察到细胞杆状,产生芽孢(图 1). 生理生化试验结果显示:Bmp5为革兰氏反应阳性,氧化酶阳性,能够利用葡萄糖产酸,不能利用甘露醇、木糖、阿拉伯糖产酸,不能利用葡萄糖产气;V-P反应阳性;明胶液化阳性;尿素酶反应阳性. 将该菌株 168 nDNA 在序列NCBI中 BLAST的结果与蜡状芽孢杆菌 Bacillus cere us的相似性为 99%. 经中国农业科学院土壤肥料研究所鉴定,Bmp5为蜡状芽孢杆菌.



图 1 Bmp5菌体形态照片(×640)

Fig. 1 The photograph of the morphology of Bm p5 ( imes 640)

### 2 4 Bm p5培养条件的优化

2 4 1 培养基初始 pH 对 Bm p5 溶磷能力的影响 Bmp5在培养液不同初始 pH 下的溶磷量如图 2 所示. 从图 2可见,Bm p5在 pH < 5.5和 pH > 8 0时,溶磷活力有所下降;在 pH 5 5 ~ 8 0内出现平台,能有效地发挥其溶磷能力. 如此较广的适用范围, 有利于工业化培养和应用 reserved. http://www.cnki.net

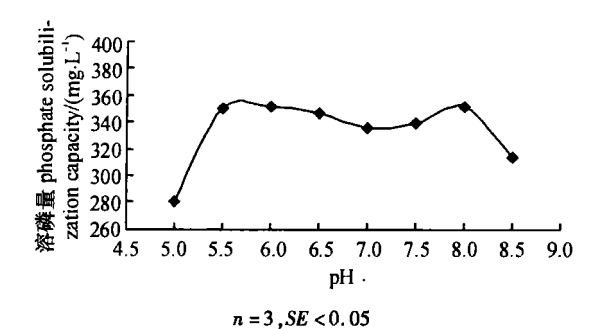
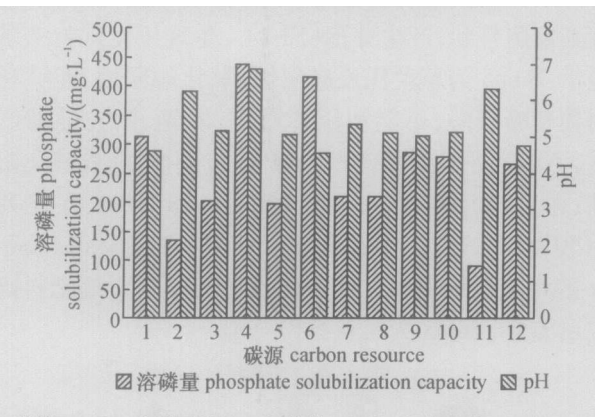


图 2 培养基初始 pH对 Bm p5溶磷能力的影响

Fig 2 Phosphate solubilization capacity of Bmp5 in different original medium pH

2 4 2 碳源对 Bmp5溶磷能力的影响 液体发酵培养基中的氮源物质不变 加入不同碳源物质,测定培养液溶磷量,结果如图 3所示 由图 3可以看出,在不同的碳源物质条件下, Bmp5显示出不同的溶解磷酸盐能力.当草酸铵和甘油为碳源时,溶磷量较高.单独以淀粉、麸皮为碳源时溶磷量较低.而以淀粉 +麸皮、淀粉 +乙醇为碳源时,溶磷量可达到相当高度 因此,从经济角度考虑,这些组合为适合工业应用的碳源物质.

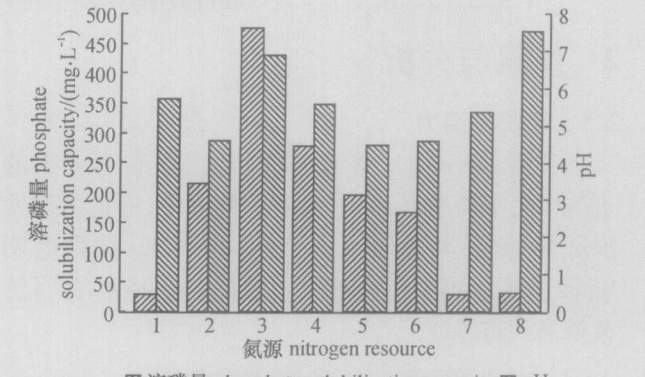


1:蔗糖 sucrose; 2:麸皮 bran; 3:淀粉 starch; 4:草酸铵 ammonium oxalate; 5:醋酸胺 ammonium acetate; 6:甘油 glycerol; 7:乙醇 ethanol; 8:甘露醇 mannitol; 9:淀粉 + 乙醇 starch + ethanol; 10:淀粉 + 麸皮 starch + bran; 11:麸皮 + 乙醇 bran + ethanol; 12:葡萄糖 glucose; n=3, SE<0.05

图 3 不同碳源物质下 Bmp5的溶磷量和培养液最终 pH Fig 3 Phosphate solubilization capacity of Bmp5 and the final pH of the mudium in different carbon sources

2 4 3 氮源对 Bmp5 溶磷能力的影响 液体发酵培养基以葡萄糖为碳源,加入不同氮源,测定培养液溶磷量,结果见图 4 从图 4可以看出,不同的氮源物质对 Bmp5的解磷能力影响较大.以尿素、硝酸钠和蛋白胨为氮源时,溶磷量很低;以硫酸铵、柠檬酸铵、氯化铵、硝酸铵为氮源时,溶磷量较高,尤以草酸铵为氮源时,溶磷量可达 475. 19 mg /L, 比以硫酸铵为氮源时高出 120 3%,为最适氮源. 试验中还发现草酸铵也是提高 Bmp5 溶磷活力的碳源物质(图 3). 赵小蓉等。[12] 和 Narsian等[13] 研究发现碳源、氮源和

碳氮比的变化能极大地影响微生物代谢,从而显著影响溶磷微生物的溶磷能力. Reyes等 [14] 认为,氮源物质可以改变溶磷微生物产有机酸或释放  $H^+$ 的溶磷机制,改变其溶磷能力. 在本研究中,草酸铵为提高 Bmp5溶磷能力的适宜碳源和氮源物质,而其培养液最终 pH 值分别为 6.87.6.91 明显高于其他碳、氮源物质,说明以草酸铵为碳、氮源时,Bmp5 溶磷不可能,以中檬酸铵为氮源时,较高的溶磷量对应了较高培养液最终 pH 值. 而甘油为碳源情况下溶磷量较高,培养液 pH 值却明显降低,可能与  $H^+$ 排放有关. 碳、氮源对微生物溶磷机理的影响较为复杂,不同碳、氮源物质可能诱使 Bmp5 遵循不同的溶磷机理.



図溶磷量 phosphate solubilization capacity ☑ pH

1:尿素 urea; 2:硫酸铵 ammonium sulphate; 3:草酸铵 ammonium oxalate; 4:柠檬酸铵 ammonium citrate; 5:氯化铵 ammonium chloride; 6:硝酸铵 ammonium nitrate; 7:硝酸钠 sodium nitrate; 8:蛋白胨 peptone; n=3, SE<0.05

图 4 不同氮源条件下 Bm p5的溶磷量和培养液最终 pH Fig 4 Phosphate solubilization capacity of Bm p5 and the final pH of the mudium in different nitrogen sources

2 4 4 温度对 Bmp5溶磷能力的影响 测定 Bmp5 在不同温度下培养上清液的有效磷含量,以温度对溶磷量作曲线 (图 5). 由图 5可见,溶磷量在  $20 \sim 35$  °C时随温度升高而逐渐上升,35 °C达到最大,超过 35 °C以后就逐渐下降,在 50 °C时活力基本消失. 因此,在 35 °C左右,Bmp5达到最佳溶磷状态.

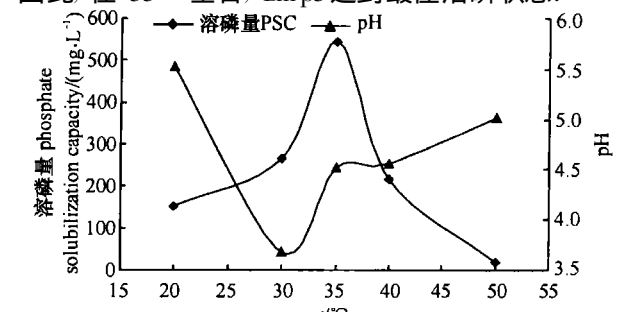


图 5 不同温度条件下 Bm p5的溶磷量和培养液最终 pH Fig 5 Phosphate solubilization capacity of Bm p5 and the final pH of the mudium in different temperatures

n = 3, SE < 0.05

~1994-2018 China 智は祖emiとしない名ととというととない。 All rights reserved. http://www.cnki.net

 $2\ 4\ 5$  金属离子对 Bmp5溶磷能力的影响 在液体培养基中加入不同的金属离子,考察金属离子对 Bmp5溶磷活力的影响,所得结果见图 6 由图 6 可以看出, $Fe^{3+}$ 、 $Ca^{2+}$ 、 $Mn^{2+}$ 、 $Zn^{2+}$ 都可以提高 Bmp5的溶磷活力,当加入  $Mn^{2+}$ ,溶磷量比在原 Pikovsk ava解无机磷液体培养基条件下培养提高了 47%,而加入  $Cu^{2+}$ 、 $Nn^{2+}$ ,使 Bmp5的溶磷活力受到一定的抑制作用. 林启美等  $Indext{15}$  研究发现去掉培养基中的铁、锰、镁、钠等无机盐,溶磷细菌  $Indext{17}$   $Indext{17}$   $Indext{17}$   $Indext{17}$   $Indext{18}$   $Indext{18}$   $Indext{18}$   $Indext{19}$   $Indext{19}$ 

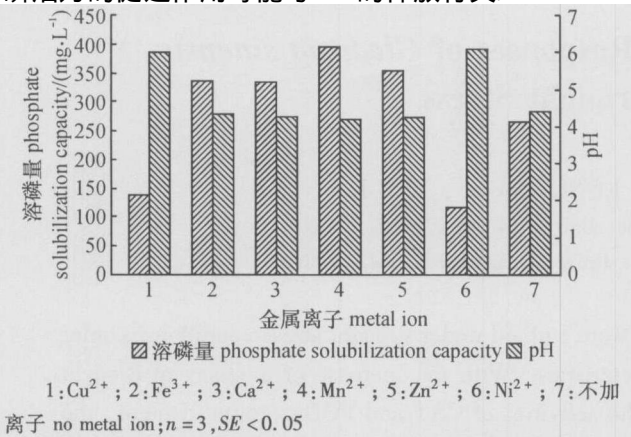


图 6 加入不同金属离子的 Bmp5溶磷量和培养液最终 pH Fig 6 Phosphate solubilization capacity of Bmp5 and the final pH of them udium in the presence of different metal ions in the medium

Bmp5的培养条件优化试验可为其工业发酵过程提供参数依据,但农作物根际土壤环境复杂,营养成分相对缺乏,Bmp5在土壤中生长及作用情况有待于进一步研究.

# 3 结论

从土壤中筛选出的生长较快, 溶磷活力较高的Bmp5对磷酸钙、磷酸铁、卵磷脂的溶解能力明显高于荧光假单胞菌 As1.867 对磷酸铝、磷酸氢钙的溶磷量分别为 As1.867的 97.3%、85.7%. 对磷酸氢钙的溶磷量是 As1.223的 2.17倍, 对磷酸铁、卵磷脂的溶解能力略高于巨大芽孢杆菌 As1.2230 但对磷酸钙、磷酸铝的溶磷量分别为 As1.223的 97.7%、18.1%.

Bm p5的适宜 pH 值范围是 5 5 ~ 8 0 最适碳、氮源物质均为草酸铵,最佳培养温度为 35  $^{\circ}$ C. 加入  $Fe^{3+}$ 、 $Ca^{2+}$ 、 $Mn^{2+}$ 、 $Zn^{2+}$ ,对其解磷能力有一定的促进作用,而  $Cu^{2+}$ 、 $N1^{2+}$ 会抑制其解磷.

经鉴定, Bm p5 为蜡状芽孢杆菌.

**致谢**: 感谢中国农业科学院土壤肥料研究所提供菌株鉴定报告.

#### 参考文献:

- [1] 周克琴, 王光华, 金剑, 等. 土壤微生物对提高植物磷素营养的作用[J]. 农业系统科学与综合研究, 2003, 19 (3); 232-236
- [2] K M K Y, JORAN D, KRISHNAN H B. Rahnella aqua tilis a bacterium isolated from soybean rhizosphere can solubilize hydroxyapatite [J]. FEMS M icrobiology Letters 1997, 153, 273-277.
- [3] 刘丽丽, 陈立新, 王广朝, 等. 磷细菌 9320 SD的溶磷动力学研究 [J]. 南开大学学报: 自然科学版, 2002 35 (1): 28 32
- [4] 李华, 王光华, 谷守玉, 等. 磷细菌突变株生理特性的研究[1]. 高校化学工程学报, 1999 113(3): 240 244
- [5] SAHU S NATARAJAN N, HARIK. Influence of phos phorus solubilizing bacteria on the changes in soil available phosphorus and sugarcane and sugar yields [J]. Field Crops Research 2002 77: 43-49.
- [6] 陈廷伟. 解磷巨大芽孢杆菌分类名称、形态特征及解磷性能述评[J].土壤肥料, 2005(1): 79.
- [7] 黄秀梨. 微生物学实验指导 [M]. 北京: 高等教育出版 社, 1999, 114.
- [8] 林启美, 王华, 赵小蓉, 等. 一些细菌和真菌的解磷能力及机理初探[1]. 微生物学报, 2001 28(2); 26 29
- [9] 鲍士旦. 土壤农化分析 [M]. 北京: 中国农业出版社。 2000 76 78
- [10] 钟传青, 黄为一. 不同种类解磷微生物的溶磷效果及其 磷酸酶活性的变化[J]. 土壤学报, 2005, 42(2); 286
- [ 11] ILIMER P. SCH NNER F. Solubilization of inorganic calcium phosphates solubilization mechanisms [ J]. Soil Biol Biochem. 1995. 27 (3): 257-263
- [12] 赵小蓉, 林启美, 李保国. C、N 源及 C N 比对微生物溶 磷的影响[J]. 植物营养与肥料学报, 2002, 8(2): 197-204
- [ 13] NARSIAN V. PATELH H. Aspergillus aculeatus as a rock phosphate solubilizer J. Soil Biol Biochem. 2000(32): 559 565
- [14] REYES J BERNIER I, SMARD R R, et al. Effect of nitrogen source on the solubilization of different inorganic phosphates by an isolate of *Penicillium rugulosum* and two UV-induced mutants [J]. FEMS Microbiology Ecology 1999 (28): 281-290.
- [15] 林启美, 赵海英, 赵小蓉. 4株溶磷细菌和真菌溶解磷矿粉的特性[]]. 微生物学通报, 2002, 29(6): 2428

【责任编辑 李晓卉】